

水分散体系中丙烯酸四氟丙酯与苯乙烯的原子转移自由基共聚合

张彬 张兆斌 万小龙 胡春圃^{*} 应圣康
(华东理工大学活性聚合研究室 上海 200237)

摘要 以2-溴代异丁酸乙酯(EBiB)为引发剂、CuBr/CuBr₂/1,10-邻二氮菲(phen)配合物为催化剂,在水分散体系中进行了丙烯酸四氟丙酯(TFPA)与苯乙烯(St)的原子转移自由基共聚合,所得共聚物的分子量(M_n)随着单体总转化率的增加而增大,分子量分布(M_w/M_n)较窄(1.26~1.65),表现出“活性”聚合的特征。用拓展的Kelen-Tüös法和Fineman-Ross法估算了共单体的表观竞聚率,发现St的相对反应活性高于TFPA,因此当St和TFPA起始组成为1:1(摩尔比)时,反应自发生成了含氟的准梯度或“渐变”共聚物。实验分别考察了三种乳化剂体系,即十二烷基磺酸钠(SLS)、全氟辛酸钠(SPFS)/SLS和全氟壬烯基苯磺酸钠(OBS)/SLS对共聚合反应的影响,发现它们对共聚合的可控制性影响不大,且反应过程中均无破乳现象发生;然而,以OBS/SLS复合乳化剂体系制备的共聚物乳液的贮存稳定性明显优于以SLS或SPFS/SLS为乳化剂体系制备的共聚物乳液的稳定性。

关键词 原子转移自由基聚合,水分散聚合,丙烯酸四氟丙酯,苯乙烯

Atom Transfer Radical Copolymerization of 2,2,3,3-Tetrafluoropropyl Acrylate and Styrene in Water Dispersion System

ZHANG, Bin ZHANG, Zhao-Bin WAN, Xiao-Long HU, Chun-Pu^{*} YING, Sheng-Kang
(Laboratory of Living Polymerization, East China University of Science and Technology, Shanghai 200237)

Abstract Atom transfer radical copolymerization of 2,2,3,3-tetrafluoropropyl acrylate (TFPA) and styrene (St) was successfully conducted in the water dispersion system with ethyl 2-bromo isobutyrate as initiator and CuBr/CuBr₂/phenanthroline as catalyst, respectively. The increase of molar masses with the increase of the total monomer conversion and relatively narrow molar mass distributions of the copolymers exhibited that the good control over the copolymerization was achieved. The apparent monomer reactivity ratios were estimated with extended Kelen-Tüös method ($r_{St} = 0.48$, $r_{TFPA} = 0.08$) and Fineman-Ross method ($r_{St} = 0.50$, $r_{TFPA} = 0.11$). It was found that the spontaneous fluorinated “gradient copolymer” was produced in this water dispersion copolymerization system due to the difference of relative reactivity between St and TFPA. Three kinds of emulsifier systems, *i.e.*, sodium laurylsulfonate (SLS), sodium perfluorononyloxybenzene sulfonate (OBS)/SLS and sodium perfluorocaprylate (SPFS)/SLS, were used and examined in this work. The results showed that both good controllability and stable copolymer latex were achieved during the course of the copolymerization by using these emulsifier systems, of which the copolymer latex prepared with OBS/SLS as emulsifier was most stable.

Keywords atom transfer radical polymerization, water dispersion polymerization, 2,2,3,3-tetrafluoropropyl acrylate, styrene

自从1995年王锦山和Matyjaszewski报道了原子转移自由基聚合(ATRP)^[1]以来,由于其宽松的聚合条件和适应单

体范围较广等特点,已受到国内外学术界的广泛关注。通过ATRP不仅可以实现多种单体的控制聚合,而且可以制备出

具有预定分子量、窄分子量分布以及结构明晰的聚合物。在聚合物链上引入氟元素可以赋予聚合物很多优异的性能,如良好的热稳定性和化学稳定性、生物相容性、憎水憎油性等。含氟单体与一般单体共聚是制备含氟共聚物的重要途径,我们曾报道了苯乙烯(St)与甲基丙烯酸2-全氟壬烯氧基乙酯在溶液中的原子转移自由基无规共聚合^[2]。众所周知,水廉价易得、无污染,因而以水为分散介质的乳液和悬浮聚合在聚合物生产中占有重要的地位,吸引人们开展水性介质中ATRP的研究与探索^[3~7]。然而,迄今为止尚无含氟单体的水分散ATRP的报道。本文将首次报道丙烯酸四氟丙酯(TFPA)与St在水分散体系中的原子转移自由基共聚合。

1 实验部分

1.1 原料与试剂

苯乙烯(St,化学纯,上海试剂一厂)用5%的NaOH洗涤3次后用去离子水洗至中性,再分别用CaCl₂和CaH₂浸泡2 d,然后在高纯氮气保护和CaH₂存在下减压蒸馏。丙烯酸四氟丙酯(TFPA)实验室自制。溴化亚铜(CuBr,分析纯,上海试剂一厂)按文献方法精制^[8]。1,10-邻二氮菲(phen,分析纯,上海试剂三厂)在丙酮中重结晶2次。2-溴代异丁酸乙酯(EBiB)按文献方法^[9,10]合成。溴化铜(CuBr₂,分析纯,上海试剂一厂)、十二烷基磺酸钠(SLS,化学纯,上海青浦试剂厂)、全氟辛酸钠(SPFS,上海有机氟材料所)和全氟壬烯氧基苯磺酸钠(OBS,上海有机氟材料所)均直接使用。去离子水使用前用高纯氮气鼓泡30 min。

1.2 聚合

聚合反应在装有磁力搅拌子的30 mL安瓿瓶中进行。具体操作步骤如下:首先对干燥的安瓿瓶反复抽真空,高纯氮气置换3次,然后在高纯氮气保护下加入固体催化剂,搅拌,用注射器依次加入单体、引发剂和乳化剂的去离子水溶液,置入恒温油浴中开始反应,定时取样分析。

1.3 仪器测定

单体转化率用重量法和¹H NMR测定。分子量(M_n)和分子量分布(M_w/M_n)用Waters 150凝胶渗透色谱仪测定,流动相为四氢呋喃,流速为1.0 mL/min,标样为单分散的聚苯乙烯(PS)。共聚物的累积组成(F_{TFPA})用Bruker DRX-500核磁共振仪分析,CDCl₃为溶剂。共聚物的瞬时组成(F_{TFPA})根据 F_{TFPA} 和 M_n 计算得到。用Microtrac UPA150型粒径仪测定聚合物乳液的粒径和粒径分布。

2 结果与讨论

分别以CuBr/CuBr₂/phen配合物为催化剂、EBiB为引发剂,反应温度为70℃时,考察了SLS、SLS/OBS和SLS/SPFS三种乳化剂体系对TFPA/St水分散ATRP共聚合反应的影响,结果如表1所示。实验发现,在反应过程中这三种乳化剂体系均无破乳现象,并且反应产物的分子量(M_n)与理论分

子量($M_{n,th}$)基本一致,分子量分布较窄($M_w/M_n=1.40$),表明反应的控制性较好。需要指出的是,以SLS或SLS/SPFS为乳化剂所制备的聚合物乳液在放置一周之后就出现了不同程度的凝聚,而以SLS/OBS为乳化剂所制备的聚合物乳液表现出了良好的稳定性,即使放置数月也无凝聚现象。图1是以SLS/OBS为乳化剂所得的TFPA/St共聚物乳液的粒径分布。由图1可以看出,聚合物乳液粒子的粒径在24.0~40.8 nm之间,粒径分布也较窄(1.08)。当含氟单体与不含氟单体进行水分散共聚合时,为了改善共聚物乳液的稳定性,往往要含氟乳化剂与不含氟乳化剂复合使用。所以单独以SLS为乳化剂获得的含氟共聚物乳液贮存稳定性较差。而以SLS/SPFS为乳化剂体系制备的共聚物乳液之所以不稳定,可能是因为SPFS中的羧酸根对反应体系中的金属离子和反应介质的pH值的变化比较敏感。对于SLS/OBS复合乳化剂体系,SLS和OBS中的SO₃⁻基团对反应介质的pH值的变化和金属离子的存在并不敏感,因此使共聚物水分散液具有良好的稳定性。

表1 乳化剂类型对TFPA/St水分散ATRP共聚合的影响^a

Table 1 The effect of the type of surfactant on water dispersion ATRP of TFPA/St

No.	Surfactant system	Conv. / %	$M_{n, GPC}$	$M_{n, th}^b$	M_w/M_n
1	SLS	60	19500	13700	1.38
2	SLS/OBS	77	23000	17590	1.40
3	SLS/SPFS	57	17000	13020	1.40

^aCuBr CuBr₂ EBiB = 1 0.5 1 (molar ratio); CuBr phen = 1 3 (molar ratio); CuBr₂ phen = 1 3 (molar ratio); water = 10 mL; T = 70℃; St TFPA = 1 1 (molar ratio); [total monomer]₀ = 0.013 mol/L; reaction time = 2 h. 1—SLS = 3% (wt, based on water); 2—SLS = OBS = 1.5% (wt, based on water); 3—SLS = SPFS = 1.5% (wt, based on water). ^b $M_{n, th} = ([W]_0 \times conv.) / [EBiB]_0$, [W]₀ is the total weight of two monomers.

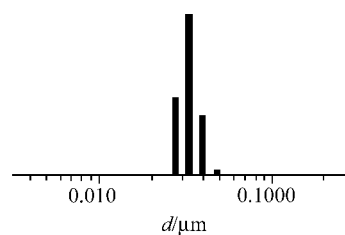


图1 以SLS/OBS为乳化剂制备的TFPA/St共聚物乳液的粒径分布

Figure 1 The particle size distribution for the TFPA/St copolymer latex obtained with SLS/OBS as emulsifier system.

Conditions were the same as in No. 2 of Table 1

图2列出了所得共聚物的 M_n 和 M_w/M_n 与单体转化率的关系。由图可见, M_n 随着单体转化率的增加而增大, M_w/M_n 相对较窄(1.30~1.60),表现出“活性”聚合的特征。实验测定的共聚物的 M_n 高于理论分子量 $M_{n,th}$,可能是由于以单

分散的 PS 为测定 M_n 的标样以及由于 $\text{CuBr}_2/\text{phen}$ 的高水溶性使得反应场所内缺乏足够的钝化剂 ($\text{CuBr}_2/\text{phen}$) 来控制反应所致。

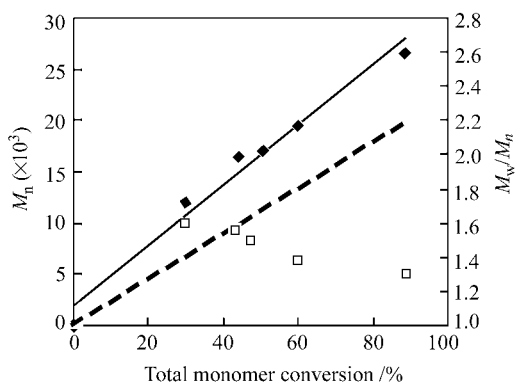


图 2 TFPA/St 共聚物的 M_n 和 M_w/M_n 与共单体转化率的关系

Figure 2 Conversion dependence of M_n and M_w/M_n for water dispersion ATRP of TFPA/St

Conditions were the same as in No. 1 of Table 1

— M_n ; — $M_{n,\text{th}}$; — M_w/M_n

图 3 是所得共聚合物的 ^1H NMR 谱图。图中 6.2 ~ 7.5 之间的峰为 St 链节中苯环上质子氢的特征化学位移; 3.4 ~ 4.5 之间和 5 ~ 6 之间的峰分别是 TFPA 链节中 OCH_2 基团和 CF_2H 基团的特征化学位移。3.4 ~ 4.5 之间 OCH_2 的特征峰分裂为多重峰, 说明两种单体确实发生了共聚合反应。鉴于 TFPA 均聚物在甲苯中不溶解, 而 PS 在 TFPA 中不溶解, 所以分别用甲苯或 TFPA 来溶解共聚产物, 发现产物极易在甲苯或 TFPA 中完全溶解, 这说明产物中不存在两种单体的均聚物。因此, 由 6.2 ~ 7.5 处和 5 ~ 6 处特征峰的面积可以计算出共聚物的组成。

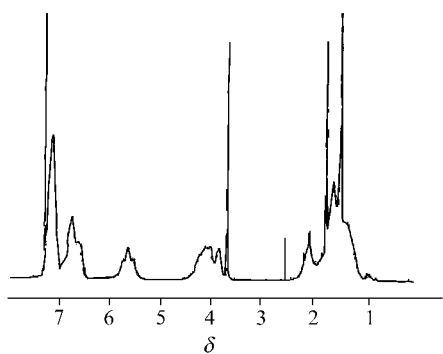


图 3 TFPA/St 共聚物的 ^1H NMR 谱图

Figure 3 ^1H NMR spectrum for TFPA/St copolymer (prepared under the same conditions as in Fig. 2)

表 2 列出了用拓展的 Kelen-Tüös 法^[11,12]和 Fineman-

Ross^[13]法估算的共单体的表观竞聚率。由表可见, 用拓展的 Kelen-Tüös 法估算的表观竞聚率 ($s_t = 0.48$, $\text{TFPA} = 0.08$) 与 Fineman-Ross 法估算的表观竞聚率 ($s_t = 0.50$, $\text{TFPA} = 0.11$) 基本一致。从所得的表观竞聚率的数值可以看出, 在该聚合体系中 St 的反应活性明显高于 TFPA 的反应活性。

表 2 用拓展的 Kelen-Tüös 和 Fineman-Ross 法估算的 TFPA/St 的表观竞聚率

Table 2 Apparent monomer reactivity ratios of TFPA/St estimated from extended Kelen-Tüös method and Fineman-Ross method

Method	s_t	TFPA
Extended Kelen-Tüös	0.48 ± 0.025	0.08 ± 0.014
Fineman-Ross	0.50 ± 0.021	0.11 ± 0.027

当两种具有不同反应活性 ($s_1 > s_2$) 的单体以等摩尔当量进行“活性”或控制自由基共聚合时, 活性高的单体的反应速度大于活性低的单体, 这样就会自发地生成一种准梯度或“渐变”共聚物^[14,15], 即随着共聚物分子链的增长, 大分子链的组成由一种单体链节占多数逐渐变到另一种单体链节占多数。上述 St 和 TFPA 单体等摩尔起始组成的水分散 ATRP 共聚合就是这种情况(图 4)。从图 4 可见, 当 St 和 TFPA 的起始组成为 1:1(摩尔比)时, St 的反应速度明显快于 TFPA 的反应速度; 当 St 的转化率达到 60% 以上时, TFPA 的转化率只有 40% 左右。同时, 由图 5 可见, 共聚物中 TFPA 链节的瞬时组成 (F_{TFPA}) 随着共聚物链长的增加而增加, 其中某一时刻的聚合物链长为该时刻的 M_n 与聚合反应终止时的 M_n 的比值。结合图 4, 可见, 反应确实生成了含氟的准梯度或“渐变”共聚物。

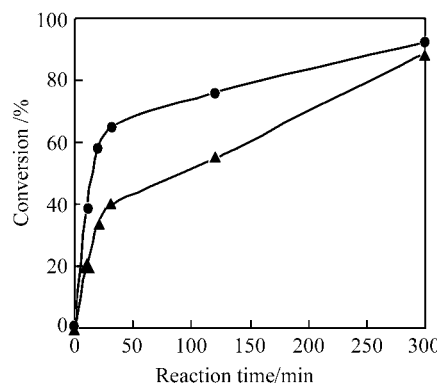


图 4 水分散 ATRP 共聚合中 TFPA 与 St 聚合反应速度的对比

Figure 4 Comparison of polymerization rate of TFPA and St for water dispersion ATRP

Conditions were the same as in Fig. 2

—St; —TFPA

固定共单体的总摩尔含量, 考察了共单体起始组成对共聚合反应的影响, 所得结果如表 3 和图 6 所示。表 3 是反应

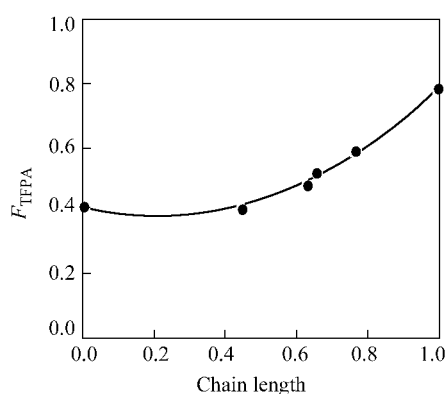


图5 共聚物中TFPA链节的瞬时含量(F_{TFPA})随大分子链长的变化趋势

Figure 5 Evolution of the instantaneous copolymer composition (F_{TFPA}) of TFPA unit with the chain length for water dispersion ATRP of TFPA/ St

Conditions were the same as in Fig. 2

时间为2 h的聚合结果,由表3可见,在所考察的单体起始组成范围内,共聚物的 $M_{n,\text{GPC}}$ 与理论分子量 $M_{n,\text{th}}$ 较为接近, M_w/M_n 较窄(1.26~1.65),但是 M_w/M_n 随着单体起始组成中TFPA含量的增加而变宽。由图6可知,聚合速率随着单体起始组成中TFPA含量的增加而变慢。为了考察其原因,我们在水分散体系中进行了TFPA均聚反应,发现反应体系的颜色在反应初期为红棕色(CuBr/phen配合物的颜色),但不久就逐渐地变为蓝色(CuBr₂/phen配合物的颜色),表明反应体系中的CuBr/phen较快地转变为CuBr₂/phen。聚合初期反应速度较快,0.5 h后单体的转化率就达到30%,其后反应速度变慢,即使延长至8 h转化率也只有50%左右,且所得聚合物的 M_w/M_n 接近2.0,这说明该反应体系对TFPA的可控制性较差。这可能与钝化剂CuBr₂/phen在TFPA中的溶解性较差等因素有关。在St与TFPA的共聚合中也观察到类似的现象,反应体系的红棕色随着单体起始组成中TFPA含量的增加而变浅,即聚合反应的可控性随着单体起始组成中

TFPA含量的增加而变差,故所得共聚物的 M_w/M_n 变宽,共聚合反应速度变慢。

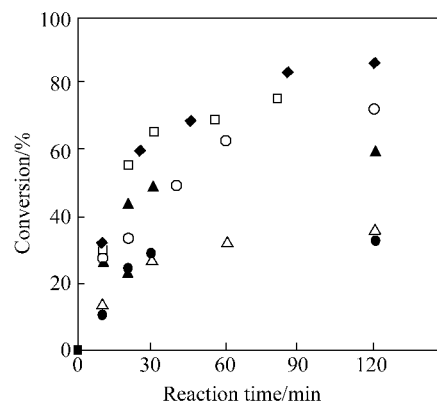


图6 不同St/TFPA比例下共单体转化率与反应时间的关系

Figure 6 The relationship between conversion of copolymer and reaction time for water dispersion ATRP of St and TFPA with different St/TFPA feed ratios

Conditions were the same as in Table 2

$f_{\text{TFPA}}:$ —0.19; —0.25; —0.35; —0.50; —0.65; —0.75

3 结论

在水分散体系中成功地进行了TFPA与St的原子转移自由基共聚合反应,表现出“活性”聚合的特征,即所得共聚物的 M_n 随着单体转化率的增加而增大, M_w/M_n 较窄(1.26~1.65)。由于St的相对反应活性高于TFPA,聚合反应自发生成了含氟的准梯度或“渐变”共聚物。研究发现,不论是用SLS为乳化剂还是以SPFS/SLS或者OBS/SLS为复合乳化剂,都可以实现控制共聚合,且反应过程中均无破乳现象发生;然而以OBS/SLS复合乳化剂体系制备的共聚物乳液的贮存稳定性明显优于以SLS或SPFS/SLS为乳化剂体系制备的共聚物乳液。

表3 共单体组成对TFPA/St水分散ATRP共聚合的影响^a

Table 3 Effect of the comonomer composition on water dispersion ATRP of TFPA/St

No.	f_{TFPA}	Total monomer conversion/%	$M_{n,\text{th}}^b$	$M_{n,\text{GPC}}$	M_w/M_n	F_{TFPA}^c
1	0.25	76	14610	18400	1.26	0.29
2 ^d	0.35	73	15330	19800	1.34	0.37
3	0.50	60	13700	19500	1.38	0.40
4	0.65	37	9180	12900	1.46	0.49
5	0.75	34	9010	12800	1.65	0.55

^a CuBr/CuBr₂/EBiB=1/0.5/1(molar ratio); CuBr/phen=1/3(molar ratio); CuBr₂/phen=1/3(molar ratio); water=10 mL; T=70℃; SLS=3%(wt, based on water); [total monomer]₀=0.013 mol/L; reaction time: 2 h. ^b $M_{n,\text{th}}=([W]_0 \times \text{conv.}) / [\text{EBiB}]_0$, [W]₀ is the total weight of the comonomer. ^c F_{TFPA} , cumulative composition of TFPA in copolymer. ^d $t=85$ min.

References

- 1 Wang, J.-S. ; Matyjaszewski , K. *J. Am. Chem. Soc.* **1995**, *117*, 5614.
- 2 Zhang, Z.-B. ; Ying, S.-K. ; Zhang, Q.-L. ; Xu, X.-D. *J. Polym. Sci. Part A : Polym. Chem.* **2001**, *39*, 2670.
- 3 Gaynor, S. G. ; Qiu, J. ; Matyjaszewski, K. *Macromolecules* **1998**, *31*, 5951.
- 4 Qiu, J. ; Gaynor, S. G. ; Matyjaszewski, K. *Macromolecules* **1999**, *32*, 2872.
- 5 Matyjaszewski, K. ; Qiu, J. ; Tskarevky, N. V. ; Charleux, B. *J. Polym. Sci. Part A : Polym. Chem.* **2000**, *38*, 4724.
- 6 Wan, X.-L. ; Ying, S.-K. *J. Appl. Polym. Sci.* **2000**, *75*, 802.
- 7 Zhang, B. ; Zhang, Z.-B. ; Wan, X.-L. ; Hu, C.-P. ; Ying, S.-K. *Chin. J. Polym. Sci.* **2002**, *20*(5), 445.
- 8 Keller, R. N. ; Wycoff, H. D. *Inorg. Synth.* **1946**, *2*, 1.
- 9 Volhardt, J. *Ann.* **1887**, *242*, 161.
- 10 Aunvers, K. ; Bernhardt, R. *Ber.* **1891**, *24*, 2220.
- 11 Roos, S. G. ; Müller, A. H. E. *Macromolecules* **1999**, *32*, 8331.
- 12 Kelen, T. ; Tülös, F. ; Turcsányi, B. *J. Polym. Sci. : Polym. Chem. Edn.* **1977**, *15*, 3047.
- 13 Kotani, Y. ; Kamigaito, M. ; Sawamoto, M. *Macromolecules* **1998**, *31*, 5582.
- 14 Greszta, D. ; Matyjaszewski, K. *Polym. Prepr.* **1996**, *37*(1), 569.
- 15 Greszta, D. ; Matyjaszewski, K. ; Pakula, T. *Polym. Prepr.* **1997**, *38*(1), 709.

(A0211252 SHEN, H. ; LING, J.)